

仪器制造刀具

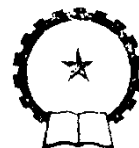
萨科洛夫斯基著

机械工业出版社

仪 器 制 造 刀 具

薩 科 洛 符 斯 基 著

錢 子 范 譯



机 械 工 业 出 版 社

1959

出版者的話

本書是叙述仪器制造中所应用的各种刀具的設計、制造及檢驗，其中包括： $\phi 0.05\sim 1.0$ 公厘的磨槽鑽头； $\phi 0.1\sim 3$ 公厘的銑刀；M0.3~1.7 的螺紋絲錐；M0.3~1.7 的圓板牙和管狀板牙；0.05~0.5 模數的齒輪滾刀； $\phi 1.5\sim 30$ 公厘的各种輪廓的成形銑刀。此外，作者对刀具制造的工艺过程和專用設備还作了詳細地研討。

本書內容适合仪器制造厂的工程技术人员及仪器制造专业的
大专学生参考。

苏联 И. А. Соколовский 著‘Режущий инструмент для приборостроения’(Машгиз 1954年第一版)

* * *

NO. 1760

1959年3月第一版 1959年3月第一版第一次印刷
 $850\times1168\frac{1}{32}$ 字数323千字 印張12 $\frac{5}{8}$ 0,001—3,400册
机械工业出版社(北京阜成門外百万庄)出版
机械工业出版社印刷厂印刷 新华書店發行

北京市書刊出版业营业許可証出字第008号 定价(11)2.30元

目 次

序言	5
第一章 鑽头	7
1. 概論	7
2. 鑽头几何形状的一般資料	7
3. 鑽孔时的切削力和扭矩	12
4. 扁鑽	16
扁鑽的构造	19
5. 麻花鑽	24
麻花鑽的构造	25
6. 鑽头制造的工艺过程	56
柱形鑽头的毛坯工序	56
粗柄鑽头的車床加工	60
热处理	60
柱形鑽头毛坯的磨削	65
粗柄鑽头工作部分的光磨	67
檢驗	72
磨螺旋槽	73
鑽头輪廓的檢驗	80
鑽头的刃磨	82
7. 鑽孔的某些条件	86
用扁鑽鑽孔	86
用麻花鑽鑽孔	88
第二章 鋸刀	90
1. 概論	90
2. 鋸刀的設計	91
圓柱形鋸刀	91
錐形鋸刀	95
3. 手用及机用鋸刀的外形 尺寸	96
4. 鋸刀截面的形状	100
5. 鋸刀制造不精确度的公	

差	104
6. 鋸刀制造的工艺过程	104
第三章 絲錐	113
1. 概論	113
2. 机用絲錐的构造要素	113
工作部分的形状	113
切削部分	123
切削部分的長度	128
錐背面	130
刀刃的角度	131
3. 一套手用絲錐間切削 工作的分配	135
4. 絲錐外形的尺寸	138
机用絲錐	138
手用絲錐	139
5. 用于切削板牙和螺紋环 規的絲錐的构造特性	140
6. 螺紋的实用尺寸及公差	146
7. 絲錐制造的工艺过程	155
自動車床的加工	155
螺紋加工	162
切螺紋的切削工具和 輔助工具	169
螺紋頂部的修整	171
螺紋的檢驗	173
方尾的加工	192
热处理	192
刃磨直徑为0.3~0.9公厘的 絲錐	192
刃磨直徑为1~1.7公厘的 絲錐	198
磨槽	198

沿切削锥进行刃磨	201	摆线轮廓的确定	247
第四章 板牙	203	渐开线轮廓的确定	251
1. 概述	203	4. 圆片齿轮铣刀的制造工	
2. 圆板牙	203	艺过程	253
无切削孔的板牙	203	车工——备料工序	253
构造要素	209	铣制齿槽	259
具有切削孔的板牙	210	鏽制齿廓	267
3. 管状板牙	212	机床的调整	268
板牙的用途和工作条件	212	铣制铣刀刀齿的鏽背面	273
构造要素	214	铣刀的热处理	274
4. 板牙和板牙丝锥的尺寸		内孔和端面的加工	274
和螺纹公差	216	刃磨前倾面	276
5. 制造板牙的工艺过程	223	小模数齿轮铣刀的鏽齿车刀	
圆板牙的毛坯工序	223	以及它的制造	277
加工准备切螺纹的孔	228	鏽齿车刀求轮廓的方法(轮廓	
切削部分的鏽背	229	的计算)	286
板牙的标号	234	5. 齿轮滚刀	293
在管状板牙上铣槽	235	确定滚刀的尺寸	294
切螺纹	235	滚刀齿形的求法	298
在具有切屑孔的板牙上鏽削、		确定滚刀在法截面内的轮廓	300
锯开切屑孔并校准螺纹	238	小模数滚刀的制造工艺过程	328
热处理	239	机床的调整	343
端面和外圆上的修光	239	小模数滚刀的鏽齿车刀	356
切削锥的研磨	239	6. 细齿成型铣刀	357
板牙前倾面上的刃磨	243	细齿成型铣刀的制造工艺	
板牙螺纹的清理	243	过程	358
第五章 铣刀	245	类似轮廓的调整计算	385
1. 仪器制造中齿轮啮合的		铣刀齿槽底位置的确定	388
基本概念	245	半自动成型铣床	393
2. 切削齿轮的方法	246	铣制细齿成型铣刀齿槽用的	
3. 圆片齿轮铣刀	247	工作铣刀	399
铣刀的尺寸	247	铣刀坯件的轮廓加工	400
铣刀刀齿轮廓的确定	247	刀齿的铣制	401

序 言

在各种鐘表、鐘表机构、記时器、轉速器、計数器、計算机、电位計、水表、經緯仪以及指示器等等的結構中有很多形状复杂而精度很高的小零件，这些零件的生产需要專用的設備、特殊的装置以及特別有經驗的工人。

随着苏联国民經濟的發展对这些仪器的需要也日益增加，因此“設計和制造加工小型仪器零件用的各种切削刀具”这样一个任务就显得十分迫切。

在仪器制造业的發展中，孔加工刀具(鑽头、銑刀)、螺紋刀具(絲錐和板牙)、加工帶軸齒輪和齒輪的刀具(圓片齒輪銑刀和齒輪滾刀)，还有加工各种复杂輪廓的小零件的刀具(細齒成形銑刀)都有着特殊的意义。这类刀具无论在本身的构造上或者在它的制造方法上都与中型和大型机器制造中所采用的刀具有根本上的不同。

为了获得关于螺紋刀具特殊性的概念，可以研究一下仪器制造中所用的螺紋最小的尺寸要素。根据 ГОСТ 3196-46，最小螺紋的外徑等于 0.3 公厘，內徑为 0.2 公厘，螺距为 0.075 公厘，牙形高度为 0.049 公厘。在軸上切这样的螺紋必須有內徑約为 0.2 公厘的板牙，而在孔中切这样的螺紋則需要直徑为 0.2 公厘的絲錐。

为了获得关于齒輪刀具的概念，这种齒輪刀具广泛地运用在各种带有小型零件的仪器的生产中，我們仅指出在仪器中所遇到的某些帶軸齒輪及齒輪的尺寸。例如星牌(Звезда)表中有直徑从 0.763 公厘开始模数为 0.099 的帶軸齒輪。胜利牌(Победа)表中有直徑为 2.41 公厘最小模数为 0.099 的齒輪，壁上的挂鐘有模数从 0.350 到 0.525、直徑为 2.45 公厘的帶軸齒輪及直徑为 50.4 公厘的齒輪。电位計中有直徑为 5 公厘、最小模数为 0.4 的帶軸齒

輪以及其他等等。

要制造这些以及和它們相类似的帶軸齒輪和齒輪需要有特殊的齒輪刀具和設備。

切削这类軸齒輪和齒輪用的齒輪刀具，其构造和制造很特殊，需要專門的研究。

各种輪廓的成型銑刀(其中包括指狀的和圓片的)，广泛地用在制造鍛压模子、压力鑄造模子和輪廓复杂而厚度較大的小零件上，以及用来銑制細齒銑刀的刀齒等。

孔加工刀具的特殊性可用下表中的数据說明。

孔的用途	所用的最小孔徑(公厘)	精度等級	表面光潔度
滑动摩擦的導向孔(用于軸及樞軸的導向).....	0.10	A~A ₃	▽▽▽8 ▽▽▽7
噴嘴孔.....	0.12	A ₃ ~A ₄	▽▽▽7 ▽▽6
汽化器節油孔.....	0.3	A ₃ ~A ₄	▽▽▽7 ▽▽6
用于圓柱形銷釘的孔.....	0.2	A~A ₃	▽▽▽7 ▽▽6
用于圓錐形銷釘的孔.....	0.1	A~A ₃	▽▽▽7 ▽▽6
用于螺紋的孔.....	0.2	A ₃ ~A ₄	▽▽▽7 ▽▽6
用于鉚釘及其他孔.....	0.5	A ₄	▽▽4
細小的夾頭中的孔.....	0.15	A~A ₃	▽▽▽7

对特种工作需要更細小的孔。

有关仪器制造中所用刀具的設計与制造的文献还很有限，并且不是很有系統。

本書是第一次企圖将仪器制造刀具現有的設計与制造的資料加以系統化。

第一章 鑽头

1 概論

鑽头是应用最为广泛的刀具之一，在鑽床、車床、六角車床、鏜床、自动及半自动机床上用来加工孔。

对于直徑大于1公厘的鑽头，它的构造和制造工艺在技术文献中已有詳尽的闡述。对于直徑小于1公厘的，尤其是小于0.5公厘的所謂「零位数」[●] 鑽头，虽然也有广泛的应用（特别是在精密仪器制造中），但是还没有充分的研究，工业中現有为数不多的資料不是很有系統，在文献中也沒有闡述。由于上述原因，所以下面仅研究直徑小于1公厘的鑽头。

直徑为0.1~1公厘的孔在精密仪器制造中应用最为广泛，要鑽削这样的孔可以采用两种鑽头：扁鑽（圖1a, b, e）及麻花鑽（圖1e, ж, 3）。

为了鑽削直徑为0.05~0.1公厘的孔，一般采用带有一条平面槽的杆状鑽头（圖1и, д）。

为了使鑽头工作部分有較大的强度，直徑在0.1公厘以下的鑽头通常只做一条容屑槽（圖1ж）。

鑽头工作部分的构造这样簡化后就使得它的切削性能变坏了，但是增加强度的要求（特别是对很細小的鑽头）使得这样的迁就成为合理的。

2 鑽头几何形狀的一般資料

扁鑽和麻花鑽的工作原理以及切削部分的基本要素都是一样的。扁鑽可以看作是螺旋槽斜角等于零的麻花鑽。在研究与鑽头

● 「零位数」（Нулевые）系指直徑小于1公厘的意思。——譯者

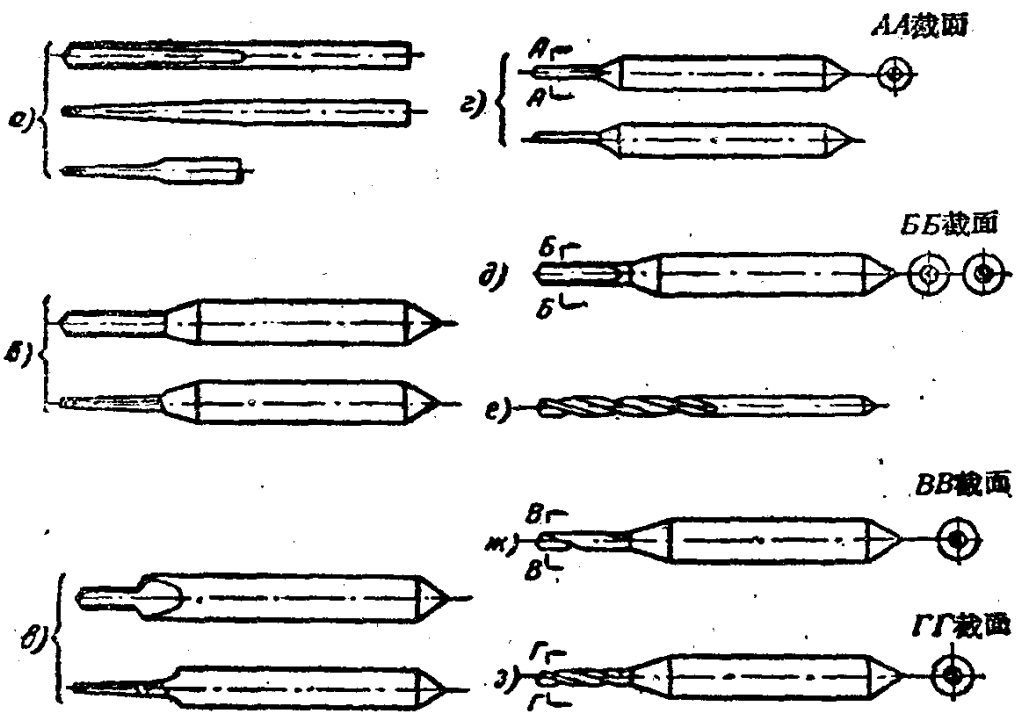


圖 1

几何形状有关的一系列問題时也可以用这样的假定为基础。为了介紹鑽头的工作情况，我們按一个个的要素来分析它的几何形状。

設任意一把直徑为 D 的鑽头（扁鑽或麻花鑽）有两个刀刃 kl 及 mn ，鑽心厚度为 k ，頂角为 2φ （圖 2）；則所有刀刃在垂直于鑽头軸綫的平面上的投影为 k_1l_1 及 n_1m_1 。从这个投影中可以看出，在鑽削过程中，鑽头刀刃中的 kl 和 mn 两部分不是位于被加工孔的中心上，而是往前傾面的一边移动了 $\frac{k}{2}$ 的距离，通过被加工孔中心另一部分刀刃 m_1l_1 将它們連接起来。

在鑽削时刀刃 kl 和 mn 切去面积为 $\frac{\pi D^2}{4} - \frac{\pi d^2}{4}$ 的金屬，而刀刃 m_1l_1 切去的面积为 $\frac{\pi d^2}{4}$ 。在鑽削过程中鑽头刀刃的 kl 和 mn 部分对于被加工孔軸綫的相对位置相同，这就意味着工作条件也相同。 l_1m_1 部分有另一种位置和另一种工作条件，这就是将鑽头刀刃的这些部分分別研究——当作不同的刀具一样来研究的理由。

斜刀刃 斜刀刃 kl 或 mn 可以看成裝得比被加工孔的中心高 $\frac{k}{2}$ 的鏜刀刀刃。

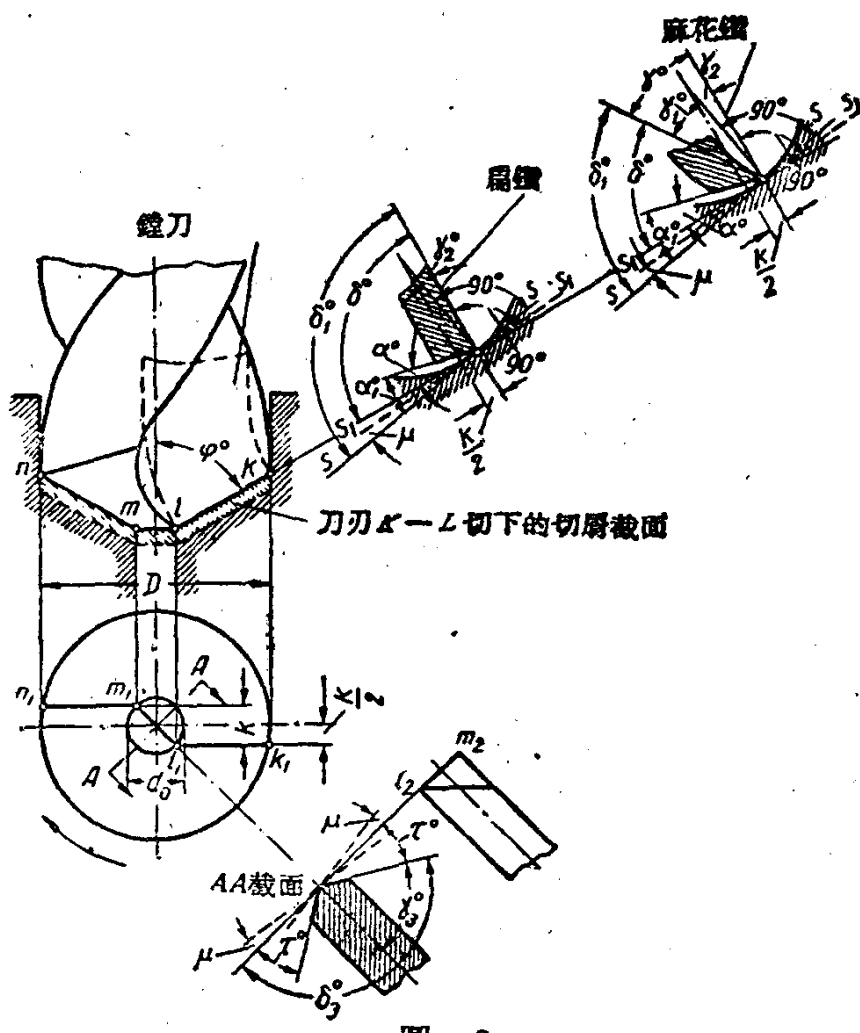


圖 2

这种刀具的切削角度为(圖 2):

- a) 在不工作的情况下: 前角为 γ (对扁鑽 $\gamma = 0$); 后角为 α ; 切削角为 δ ;
- b) 在与金属接触时: 前角为 γ_1 , 后角为 α_1 , 切削角为 δ_1 ;
当鑽头与金属接触时, 所有角度大小的改变, 都是由于它的刀刃装在被加工孔的中心綫以上而造成的;
- c) 在工作的情况下: 前角—— $\gamma_\phi = \gamma_1 + \mu$; 后角—— $\alpha_\phi = \alpha_1 - \mu$; 切削角—— $\delta_\phi = \delta_1 - \mu$;

角度大小的改变, 可以这样地解釋: 鑽削时切削是沿螺旋綫进行, 螺旋綫的螺距等于鑽头每轉一轉的进給量, 因而切削平面不是 $S-S$, 而是 S_1-S_{10} 。

刀刃上任意一点的 μ 角数值由下式决定

$$\operatorname{tg} \mu = \frac{s}{\pi D_x},$$

式中 s —— 鑽头每轉一轉的进給量；

D_x —— 确定 μ 角变化的直徑。

从这公式中可以看出，对位于离中心一定距离的点，其 μ 角的大小仅决定于进給量 s 。随着进給量的增加 μ 角也增大。当进給量为一定时，刀刃上所有各点的 μ 角不相等，逐渐接近中心，即 D_x 逐渐减小， μ 角就逐渐增加。

由于用小直徑鑽头鑽孔时所采用的进給量很小(0.001~0.05公厘)，因此 μ 角也不大，实际上不影响刀刃角度的改变。

橫刀刃 橫刀刃 $m_1 l_1$ 可以看成是沿着被加工孔中心綫安装的鏜刀刀刃。

和普通切刀比較，这种切刀的特点是：具有很大的負前角 γ_3 和很大的切削角 δ_3 。因此要使它切到金屬中去就必须在切刀上施以較大的力量。

設計鑽头时必需使橫刀刃尽可能地短，而影响前角 γ_3 的角度 τ 要尽可能地大。

現在我們來研究一下鑽头上影响選擇橫刀刃長度和 τ 角大小的一些因素。

橫刀刃的長度 橫刀刃的長度由三角形 abc 确定(圖3)：

$$w = ac = \frac{ab}{\sin \psi} = \frac{K}{\sin \psi}. \quad (1)$$

由此可見，为了确定刀刃的長度必須知道刀刃的斜角 ψ 。由同一个三角形 abc 中

$$\operatorname{tg} \psi = \frac{ab}{bc} = \frac{K}{b_1 c_1} = \frac{K}{b_1 e} = \frac{K \cdot \cos \varphi}{m} = \frac{K \cdot \cos \varphi}{k \cdot \operatorname{tg} \alpha}.$$

或

$$\operatorname{tg} \psi = \frac{\cos \varphi}{\operatorname{tg} \alpha}. \quad (2)$$

因此，公式(1)可以写成下列形式：

$$w = \frac{K}{\sin[\arctg(\frac{\cos \varphi}{\operatorname{tg} \alpha})]} \quad (3)$$

从这公式中可以知道，刀刃 ac 的長度与鑽心厚度 K 成正比，并随着鑽头頂角 φ 及刀磨后角 α 的增加而增加。

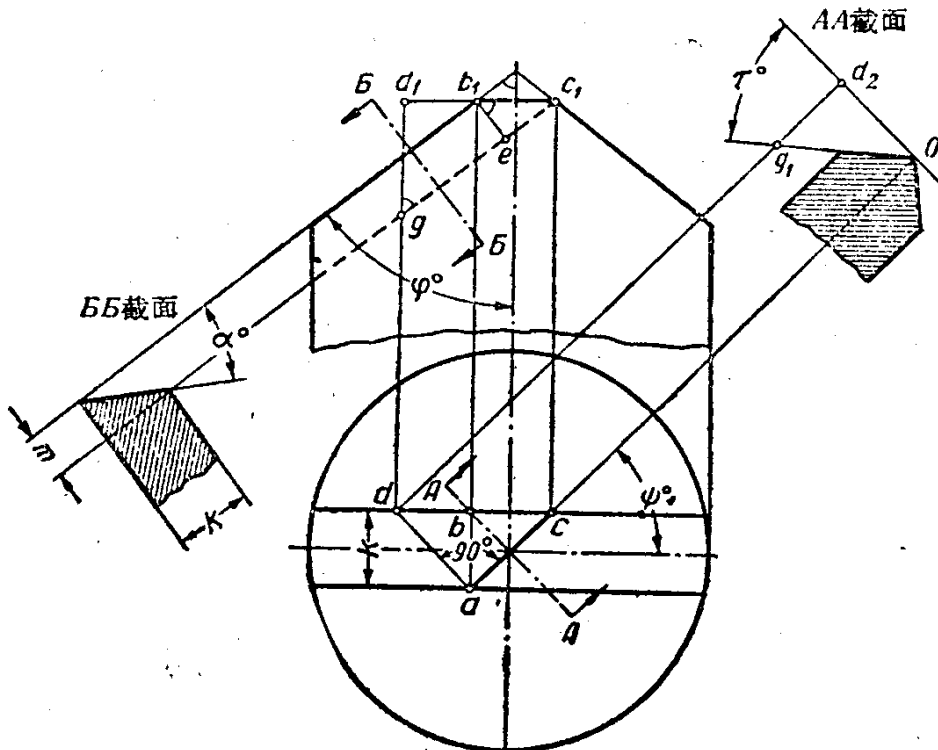


圖 3

角度 τ 角度 τ 可从三角形 d_2g_1O (圖 3)中确定:

$$\operatorname{tg} \tau = \frac{g_1d_2}{d_2O}, \quad (4)$$

其中直角边 $g_1d_2 = d_1g$ 。

从三角形 gd_1c_1 中

$$d_1g = \frac{d_1c_1}{\operatorname{tg} \varphi} = \frac{dc}{\operatorname{tg} \varphi} = \frac{ac}{\cos \psi \cdot \operatorname{tg} \varphi};$$

另一直角边

$$d_2O = ad = ac \cdot \operatorname{tg} \psi.$$

把直角边 g_1d_2 和 d_2O 的值代入(4)式中，得

$$\operatorname{tg} \tau = \frac{1}{\operatorname{tg} \varphi \cdot \sin \psi}, \quad (5)$$

或把公式(2)中 ψ 角的值代入公式(5), 得

$$\operatorname{tg} \tau = \frac{1}{\operatorname{tg} \varphi \cdot \sin [\operatorname{arctg} \left(\frac{\cos \varphi}{\operatorname{tg} \alpha} \right)]} \quad (6)$$

显然, τ 角与頂角 φ 和刃磨后角 α 有关, 并且因为公式(6)中 $\cos \varphi$ 的减小較 $\operatorname{tg} \varphi$ 的增加来得慢, 故当 φ 角增加时 τ 角将减小。

从公式(6)中也可以明显的看出, τ 角随着 α 角的增加而增加。但不建議增大 α , 因为这将使横刀刃的長度增加[見公式(3)]。

3 鑽孔时的切削力和扭矩

在斜刀刃上取任意一点A(圖4a), 并研究鑽削时作用在該

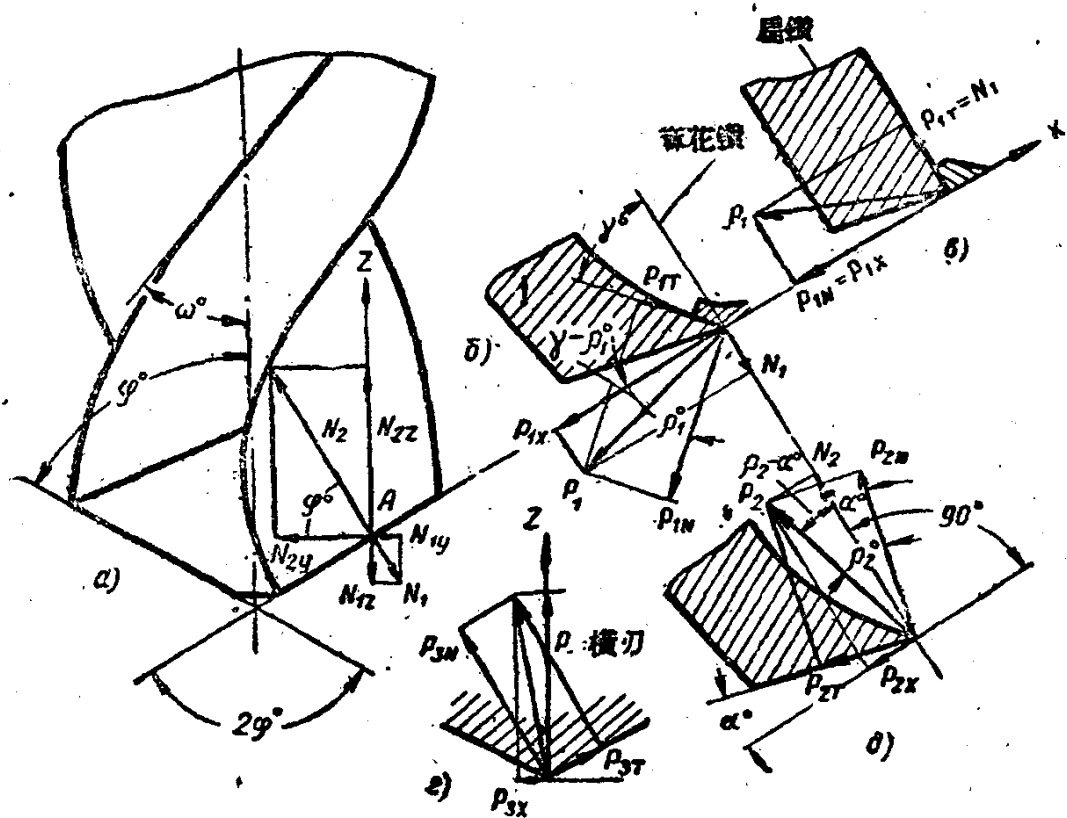


圖 4

● 根据烈茲尼柯夫 (И. Н. Резников) 教授的資料。

点上的力和力矩。切屑从前倾面的方向作用在鑽头上(圖 4 6 和 8)，产生和前倾面垂直的压力 P_{1N} 。在这个力的作用下，沿前倾面的方向出現了摩擦力 P_{1T} 。

分解上述两个力的合力 P_1 ，可以得到两个分力 P_{1x} 和 N_1 ，其中第一个构成切削力矩，第二个是垂直于刀刃的力。

現在研究鑽头的后隙面(圖 4 9)；在它的上面作用着某垂直力 P_{2N} 和这力所引起的摩擦力 P_{2T} 。把这些力的合力 P_2 分解成沿 X 軸的分力和垂直于 X 軸的分力。

将所得的力 P_{2x} 、 N_2 用几何加法与力 P_{1x} 及 N_1 加起来。

根据 P_{1N} 和 P_{2N} 两力从圖中求 P_{1x} ； P_{2x} ； N_1 和 N_2 各个力。

$$P_1 = \frac{P_{1N}}{\cos \rho_1};$$

$$P_{1x} = P_1 \cdot \cos(\gamma - \rho_1) = P_{1N} \frac{\cos(\gamma - \rho_1)}{\cos \rho_1};$$

$$N_1 = P_1 \cdot \sin(\gamma - \rho_1) = P_{1N} \frac{\sin(\gamma - \rho_1)}{\cos \rho_1};$$

$$P_2 = \frac{P_{2N}}{\cos \rho_2};$$

$$P_{2x} = P_2 \cdot \sin(\rho_2 - \alpha) = \frac{P_{2N}}{\cos \rho_2} \sin(\rho_2 - \alpha);$$

$$N_2 = P_{2N} \frac{\cos(\rho_2 - \alpha)}{\cos \rho_2}.$$

此处 ρ_1 和 ρ_2 ——摩擦角。

对于扁鑽 $\gamma = 0$ ，因此

$$N_1 = P_{1N} \cdot \operatorname{tg} \rho_1; \quad P_{1x} = P_{1N}.$$

其余的力的式子和麻花鑽相同。 N_1 和 N_2 两力也可沿着 Z 和 Y 方向进行分解(圖 4 9)。沿着 Y 軸方向作用的力将为作用在另一斜刀刃上相应的力所平衡。至于 N_{1z} 和 N_{2z} 两个力相加后成为向上或向下的軸向力，其方向决定于 N_{1z} 和 N_{2z} 中那一个来得大。这两个力的大小由下式确定：

$$N_{1z} = P_{1N} \frac{\sin(\gamma - \rho_1) \sin \varphi}{\cos \rho_1}; \quad (7)$$

$$N_{2z} = P_{2N} \frac{\cos(\rho_2 - \alpha) \sin \varphi}{\cos \rho_2} \quad (8)$$

到目前为止，我們已經研究了刀刃的一个單元。如果現在进一步把鑽头当作整体的来研究，则当它旋轉时必須克服一个力矩，这个力矩由下面的力組成：

- a) 作用在两条斜刀刃各点上的力 P_{1x} 和 P_{2x} ；
- b) 作用在橫刀刃上的力；
- c) 分布在圓柱形棱条上的摩擦力。

用 $M_{\text{總}}^*$ 表示切削总力矩，则得

$$M_{\text{總}}^* = 2 \sum_r^R (P_{1x} + P_{2x}) + M_{\text{橫刃}} + 2M_{\text{棱條}},$$

或

$$M_{\text{總}}^* = 2 \sum_r^R \left[\frac{P_{1N} \cos(\gamma - \rho_1)}{\cos \rho_1} + \frac{P_{2N} \sin(\rho_2 - \alpha)}{\cos \rho_2} \right] + M_{\text{橫刃}} + 2M_{\text{棱條}}, \quad (9)$$

式中 $M_{\text{橫刃}}$ 和 $2M_{\text{棱條}}$ ——橫刀刃上切削所产生的力矩和二棱条上摩擦所产生的力矩。

用同样的方法对于軸向力 P 可以得到如下的形式：

$$\begin{aligned} P &= 2 \sum_r^R (N_{2z} - N_{1z}) + P_{\text{橫刃}} + 2P_{\text{棱條}} = \\ &= 2 \sin \varphi \sum_r^R \left[P_{2N} \frac{\cos(\rho_2 - \alpha)}{\cos \rho_2} - P_{1N} \frac{\sin(\gamma - \rho_1)}{\cos \rho_1} \right] + \\ &\quad + P_{\text{橫刃}} + 2P_{\text{棱條}}, \end{aligned} \quad (10)$$

式中 $P_{\text{橫刃}}$ ——橫刀刃切入材料时所产生的力(圖 4 a)，而 $2P_{\text{棱條}}$ ——棱条和孔壁間的摩擦力。

对于扁鑽來說($\gamma = 0$)力 N_{2z} 和 N_{1z} 将作用在同一方向，因此公式(9)和(10)将变成下列形式：

$$M_{\text{切削}} = 2 \sum_r^R \left[P_{1N} + P_{2N} \frac{\sin(\rho_2 - \alpha)}{\cos \rho_2} \right] + M_{\text{横刃}} + 2M_{\text{法线}}; \quad (11)$$

$$P = 2 \sin \varphi \sum_r^R \left[P_{2N} \frac{\cos(\rho_2 - \alpha)}{\cos \rho_2} + P_{1N} \operatorname{tg} \rho_1 \right] + P_{\text{横刃}} + 2P_{\text{法线}}. \quad (12)$$

分析公式(9)~(12)，可以得出一系列的結論。

切削力矩隨着前角 γ 的減小而增大，但切削力矩的增大，只有在 P_{1N} 和 P_{1T} 的合力 P_1 是向下的情況下才發生。當合力 P_1 與 X 軸重合時，即當 $P_1 = P_{1x}$ ，而 $P_{1y} = 0$ 時力矩是具有最大值。

當前角繼續減小時合力轉為向上，軸向分力 P_{1x} 減小了，因而切削力矩減小了。此時分力 N_1 （影響進給力）獲得向上的方向，並且迅速地增大。

當前角繼續減小到負值時分力 P_{1x} 也將減小得更多，也就是說切削力矩變小了。根據這樣的情況可以很清楚地看出：橫刀刃所形成的切削力矩不會很大。

從上述情況可得出這樣的結論：用扁鑽工作時的切削力矩比用麻花鑽工作時略大一些，而用扁鑽工作時的進給力則比麻花鑽工作時大得多。

隨着摩擦角 ρ_1 和 ρ_2 的減小，切削力矩和進給力都會減小，因此為了減少摩擦必須把前傾面和後隙面尽可能磨得光滑些。

從公式(10)和(12)中可以知道：進給力隨着頂角 2φ 的增大而增大，因此沒有必要時不應該增大頂角。

施捷維爾(Штевер)的研究指出：橫刀刃上的進給力約占有全部進給力的50%。另外一半的力決定於刀刃所承受的阻力。全部進給力的2~3%發生在棱條上。切削力矩分配如下：有80~90%的力發生在用於切削金屬的刀刃上，3~8%的力發生在橫刀刃上，7~13%的力發生在棱條上。

為了減小作用在鑽頭上的力（這對於小直徑的鑽頭特別重要），必須：a) 將橫刀刃的長度減小到可能的限度；b) 減小頂

角 2φ 。

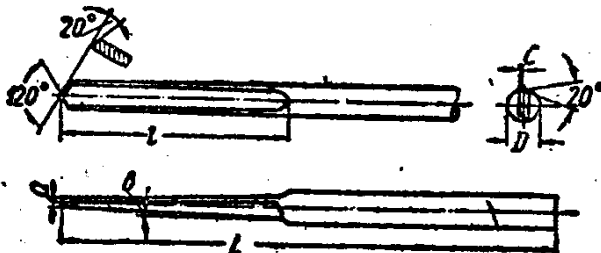
从上面所講的內容中也可以知道，麻花鑽在工作時所承受的力比較小，因此工作比較平穩并有較長的耐用度。

4 扁 鑽

扁鑽的基本种类如圖 1 a、b、c 所示。标准柄的扁鑽(圖 1 a)制造簡單，但它存在着严重的缺点，就是：

- a) 要求在生产中有很多各种形式的彈簧夹头，而这彈簧夹头的制造很困难；
- b) 工作时不够平穩；
- c) 鑽头伸出部分很長，使它变成軟弱，需要很細心很謹慎地工作。

表 1 圓柱形柄的扁鑽



D	D 的公差	L	l	$\alpha=0.02$	c	δ
0.2~0.23	-0.01	18	4	0.09	—	1°
大于0.23至0.26	-0.01	18	4	0.10	—	1°
大于0.26至0.30	-0.01	18	4	0.10	—	1°30'
大于0.30至0.35	-0.01	18	4	0.11	—	1°30'
大于0.35至0.40	-0.01	20	6	0.11	—	1°30'
大于0.40至0.45	-0.01	20	6	0.12	—	1°30'
大于0.45至0.50	-0.01	20	6	0.13	—	2°
大于0.50至0.55	-0.015	25	8	0.14	—	2°30'
大于0.55至0.60	-0.015	25	8	0.15	—	2°30'
大于0.60至0.65	-0.015	25	8	0.16	—	2°30'
大于0.65至0.70	-0.015	25	8	0.17	—	2°30'
大于0.70至0.75	-0.015	25	8	0.18	—	2°30'
大于0.75至0.80	-0.015	30	10	0.19	0.07	3°
大于0.80至0.85	-0.015	30	10	0.20	0.07	3°
大于0.85至0.90	-0.015	30	10	0.21	0.08	3°
大于0.90至0.95	-0.015	30	10	0.22	0.09	3°
大于0.95至1.0	-0.015	30	10	0.23	0.09	3°